













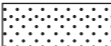
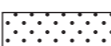
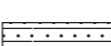



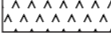
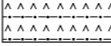


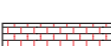
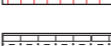
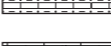
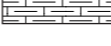










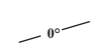




Planche 6
Légende des figures III-5 à III-10
 Garcia-Diaz, 2004

PALEOENVIRONNEMENTS

	Terres émergées
	Talus et bassin profond au-dessus de la CCD
	Bassin profond sous la CCD
	Environnement fluvio-lacustre
	Environnement fluvio-deltaïque
	Plate-forme terrigène et bassin terrigène peu profond
	Plate-forme carbonatée
	Plate-forme évaporitique
	Marge active continentale
	Talus
	Bassin profond où aucune donnée n'est connue
	Plate-forme margino-littorale ou lacustre
	Domaine de bauxites latéritiques
	Plate-forme crayeuse

LITHOLOGIES

	Conglomérat, sable, silt, argile
	Lagune en domaine continental
	Flysh
	Argile
	Sable et argile
	Evaporite
	Evaporite, argile et sable
	Dolomite
	Carbonate de faible profondeur
	Carbonate pélagique
	Alternances de calcaires, sable, silt et argile
	Calcaire pélagique à silex
	Magmatisme
	Lacune sous-marine

	Rift
	Dorsale active
	Faille
	Faille normale
	Faille décrochante
	Côte actuelle
	Latitude et longitude actuelles
	Paléo-latitude
	Limite de paléoenvironnements
	Trait-repère
	Subduction océanique
	Charriage
	Structures chevauchantes au-dessous de la couverture sédimentaire

Ar N-Ch-TS	Arc Nazas - Chapolapa - Todos Santos
Bam	Bahamas
BBi	Bassin de Bisbee
BChi	Bassin de Chihuahua
BCo	Bassin colombien
BEVz	Bassin Est vénézuélien
BfMD	Bassin flexural Mexcala - Difunta
BGa	Bassin de Grenade
BICho	Bloc Chortis
BIOx	Bloc d'Oaxaca
BMC	Bassin de la Mesa Central
BMr	Bassin de Maracaibo
BOAr	Bassin océanique d'Arperos
BOCu	Bassin océanique Cuicatèque
BRi	Ride de la Barbade
BSa	Bassin de Sabinas
BY	Bassin du Yucatan
BVz	Bassin vénézuélien
Cb	Cuba
CCH	Cordillère centrale d'Hispaniola
Chi	Chiapas

CoCC	Cordillère centrale de Colombie
CoCOc	Cordillère occidentale de Colombie
CoCOR	Cordillère orientale de Colombie
CR	Costa Rica
CyT	Fosse de Cayman
DCaTm	Décrochement Californie - Tamaulipas
DTx	Décrochement du Texas
F	Floride
GA	Grandes Antilles
GM	Golfe du Mexique
Gu	Guyane
Hi	Hispaniola
Ho	Honduras
Ht	Haiti
Jam	Jamaïque
Lou	Louisiane
MCb	Marge cubaine
MeC	Cordillère de Mérida
Ni	Nicoya
NR	Ride du Nicaragua
PA	Petites Antilles

PBa	Plate-forme des Bahamas
PCa	Plate-forme du Campeche
PCb	Plate-forme de Cuba
PCo	Péninsule de Coahuila
PF	Plaque Farallon
PIC	Plateau de Campeche
Po	Poza Rica
POs	Péninsule d'Osa
PP	Plaque Pacifique
PR	Puerto Rico
PY	Péninsule du Yucatan
SIVz	Sierra de l'Intérieur du Venezuela
SLP	San Luis Potosi
SMO	Sierra Madre Oriental
SMOc	Sierra Madre Occidental
SMS	Sierra Madre del Sur
So	Sonora
TG	"Terrane" Guerrero
Tm	Tamaulipas
VSLP	Valles - San Luis Potosi
Zac	Zacatecas